

Бесплатно

Министерство высшего и среднего специального образования СССР

Московское ордена Ленина, ордена Октябрьской Революции
и ордена Трудового Красного Знамени
высшее техническое училище им. Н. Э. Баумана

И. Д. КИСЕНКО, Е. В. СОСНОВСКИЙ

РАСЧЕТЫ ПРИ РАСТЯЖЕНИИ И СЖАТИИ

**Методические указания к домашним заданиям
по сопротивлению материалов
для студентов вечернего факультета**

Москва

1985

Министерство высшего и среднего специального образования СССР
—
Московское ордена Ленина, ордена Октябрьской Революции
и ордена Трудового Красного Знамени
высшее техническое училище им. Н.Э. Заумана

И.Д.Кисенко, Е.В.Сосновский

Утверждено
редсоветом МГТУ

РАБОТЫ ПРИ РАСТЯЖЕНИИ И СЖАТИИ

Методические указания к домашним заданиям
по сопротивлению материалов
для студентов вечернего факультета

Под редакцией А.С.Газарина

Москва

1985

Данные методические указания издаются в соответствии с учебным планом. Рассмотрены и одобрены кафедрой К-5 03.04.84 г., методической комиссией факультета К. П. 24.84 г. и учебно-методическим управлением 18.05.84 г.

Рецензент гос. МАДИ Хислин А.Н.

© Московское высшее техническое училище им. Н.Э.Баумана

ОБОЗНАЧЕНИЯ

/в квадратных скобках указаны единицы измерения/

- Z - ось стержня,
- P - сосредоточенная внешняя сила [Н],
- q - интенсивность распределенной нагрузки [$\text{Н}/\text{м}$],
- N - продольная сила /равнодействующая внутренних нормальных сил в поперечном сечении стержня/ [Н],
- F - площадь поперечного сечения стержня [м^2],
- l - длина сержня [м],
- σ - нормальное напряжение [$\text{Н}/\text{м}^2$],
- $[\sigma]$ - допускаемое напряжение [$\text{Н}/\text{м}^2$],
- ε - продольная деформация,
- Δl - изменение длины стержня [м],
- w - осевое перемещение поперечного сечения стержня [м],
- E - модуль упругости первого рода [$\text{Н}/\text{м}^2$],
- σ_{tr} - предел текучести при растяжении [$\text{Н}/\text{м}^2$],
- σ_{sc} - предел текучести при сжатии [$\text{Н}/\text{м}^2$],
- α - коэффициент температурного линейного расширения [град^{-1}],
- n - коэффициент запаса по пределу текучести,
- A - работа внешних сил [Дж],
- U - потенциальная энергия деформации [Дж].

ОСНОВНЫЕ ЗАВИСИМОСТИ

Закон Гука $\sigma = E \cdot \varepsilon$, при $\sigma \leq \sigma_n$, где σ_n - предел пропорциональности.

Нормальное напряжение

$$\text{в поперечном сечении стержня } \sigma = \frac{N}{F}.$$

$$\text{Продольная деформация } \varepsilon = \frac{\Delta l}{l},$$

изменение длины l стержня

$$\Delta l = \int \frac{N dz}{EF} \quad \text{или} \quad \Delta l = \frac{N l}{E F} \quad \text{при } \varepsilon = \text{const}.$$

Условие прочности: $\sigma_{max} \leq [\sigma]$, где $[\sigma]$ - допускаемое напряжение.

Коэффициенты запаса по пределу текучести при растяжении и при сжатии: $n_T = \frac{\sigma_{tr}}{\sigma_{max}}$, $n_s = \frac{\sigma_{sc}}{\sigma_{max}}$.

Работа внешней силы $A = \frac{1}{2} P w_p$, т.е. w_p - перемещение точки приложения силы по направлению силы. $\ell = \frac{N^2 dz}{2 EF}$.

$$\text{Потенциальная энергия деформации } U = \int_0^L \frac{N^2 dz}{2 EF}.$$

ПРАВИЛО ЗНАКОВ

При растяжении стержня равнодействующая N внутренних нормальных сил в некотором сечении /...продольная сила/ направлена от сечения (рис.1), при сжатии - к сечению (рис.2).

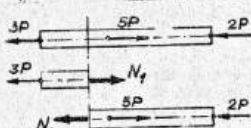


Рис. 1

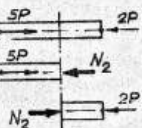


Рис. 2

При растяжении продольная сила N считается положительной, при сжатии - отрицательной. Например, $N_1 = 3P$ (см.рис. 1), $N_2 = -2P$ (рис. 2). Знак силы N определяет и знаки нормального напряжения σ , продольной деформации ϵ и изменения длины Δl . При решении задачи направление искомой продольной силы может быть выбрано произвольно. Если найденная сила будет иметь знак плюс, то это означает, что выбранное направление силы совпадает с действительным. В последующих расчётах этой силы приписывается знак в соответствии с указанным выше правилом. Заметим, что если искомую силу N всегда направлять от сечения, т.е. считать положительной, то знак результата будет соответствовать установленному правилу знаков.

В задачах I и 2 рассмотрены статически определимые системы. В этом классе систем все силовые факторы определяются непосредственно из уравнений статического равновесия.

ЗАДАЧА 1. Построить цепь продольных сил N , нормальных напряжений σ , осевых перемещений w , работу внешних сил и потенциальную энергию деформации (рис.3). Танген: P , I , E , F .

Рис. 3

Решение. Реакция опоры определяется из уравнения статического равновесия стержня. Замечаем, что знак работы внешних сил и потенциальная энергия деформации (рис.3).

$$R + 5P - 3P = 0 \\ R = 5P - 3P = 2P$$

Рис. 4

$$\text{и получаем } R = -2P$$

Знак минус указывает, что действительное направление силы R противоположно изображенному на рис.4.

Продольные силы определяют в три сечения. На первом участке AB (рис.5) и на втором участке BC выбирают произвольные сечения I и II с абсолютными засечками Z_1 и Z_2 . Рассматривая сечения части стержня (рис.5), заменяют соответствующие части силы N_1 и N_2 , состоящие из векторов различных сечений часей и находят значения и направления продольных сил N_1 и N_2 :

$$\begin{aligned} & \Sigma Z_1 = 0, \quad N_1 = 2P = 0, \\ & N_1 = ? \quad / \text{правильное}/ \\ & \Sigma Z_2 = 0, \quad N_2 = 2P = 0, \\ & N_2 = -3P = / \text{сжатие}/ \end{aligned}$$



Рис. 5

Нормальные напряжения:

$$\sigma_1 = \frac{N_1}{F} = \frac{2P}{F} / \text{сечение I}/, \quad \sigma_2 = \frac{N_2}{F} = -\frac{3P}{2F} / \text{сечение II}/.$$

Основное перемещение w любого сечения равно изменению длины, за точкой между этим сечением и неподвижным сечением A. Перемещение сечения I:

$$w_I = \Delta Z_1 = \frac{2P \cdot Z_1}{EF}, \quad / 0 \leq Z_1 \leq l /$$

$$Z_1 = 0, \quad W_1 = W_A = 0; \quad z_2 = l, \quad W_2 = W_B = \frac{2Pl}{EF}.$$

Знак плюс указывает на увеличение длины участка AB . При неподвижном левом сечении A это означает, что сечение B перемещается вправо.

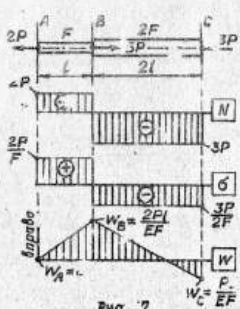


Рис. 7

Перемещение сечения 2 относительно сечения 1:

$$W_2 = \Delta L_{AB} + \Delta Z_2 = \\ = \frac{2Pl}{EF} + \frac{(-3P)z_2}{E \cdot 2F}, \quad 0 \leq z_2 \leq 2l;$$

$$z_2 = 0, \quad W_2 = W_B = \frac{2Pl}{El};$$

$$z_2 = 2l, \quad W_2 = W_C = -\frac{Pl}{EF}.$$

Знак минус указывает на уменьшение длины AC . При неподвижном левом сечении A это означает, что сечение C перемещается влево.

Заметим, что при неподвижном правом концевом сечении нумерация участков удобнее вести от этого сечения, отсчитывая абсциссы Z влево. В этом случае результат $W > 0$ означает перемещение влево, а $W < 0$ — перемещение вправо.

Эпюры N , σ , W показаны на рис. 7. Положительные значения N и σ отложены вправо, в этом же направлении отложены ординаты W , указывающие на перемещения вправо.

Работа внешних сил:

$$A = \frac{1}{2} \cdot 2P W_A + \frac{1}{2} \cdot 5P W_B + \frac{1}{2} \cdot 3P W_C = 0 + \frac{5P}{2} \cdot \frac{2Pl}{EF} + \frac{3P}{2} \cdot \frac{Pl}{EF} = \frac{13P^2 l}{2E}.$$

Весьма все сильные работы сил положительны, так как направления перемещений W_B и W_C совпадают с направлениями соответствующих сил $5P$ и $3P$. Если направление силы и направление её приложения противоположны, то работа силы отрицательна.

Потенциальная энергия деформации

$$U = U_1 + U_2 = \int_0^l \frac{N_1^2 \cdot dz}{2EF} + \int_l^{2l} \frac{N_2^2 \cdot dz}{2E \cdot 2F} = \\ = \frac{(2P)^2 l}{2E} + \frac{(-3P)^2 \cdot 2l}{4EF} = \frac{13P^2 l}{2EF}.$$

Заметим, что выполнение равенства $A = U$, отражающего закон сохранения энергии, может служить при зондировании.

ЗАДАЧА 2. Построить эпюры продольных сил N , нормальных напряжений σ и осевых перемещений W , полагая $P = qL$ (рис. 8). Найти коэффициент упругости по пределу текучести σ_T . Дано: q , l , F , E , $\sigma_T = \sigma_{TC}$.

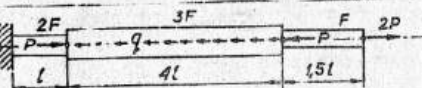


Рис. 8

Решение. Реакция опоры R (рис. 9) определяется из уравнения равновесия стержня:

$$\Sigma P_z = 0, \quad R + qL - q \cdot 4L - qL + 2qL = 0, \quad R = 2qL.$$

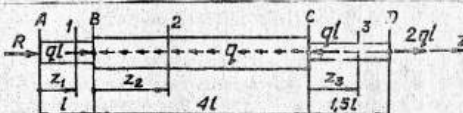


Рис. 9

Продольные силы определяются из уравнений равновесия отсечённых частей стержня (рис. 10).

Участок $AB / 0 \leq z_1 \leq l / . \quad N_1 = -2qL$ (рис. 10 а).

Участок $BC / 0 \leq z_2 \leq l / . \quad N_2 = qz_2 + qL + 2qL = 0$,

$$N_2 = qz_2 - 3qL \quad (\text{рис. 10 б}).$$

Для участка CD / $0 \leq z_3 \leq 1.5l$ /,
 $N_3 = -\frac{4ql}{F} + \frac{2ql}{F}z_3 + 2ql = 0$, $N_3 = 2ql$ [рис. II в].

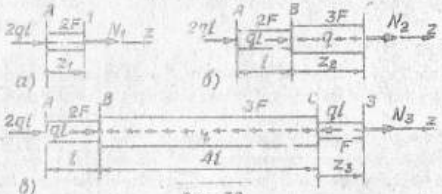


Рис. II

Нормальные напряжения:
 $\sigma_1 = \frac{N_1}{2r} = -\frac{2ql}{2F}$, $\sigma_2 = \frac{N_2}{3F} = \frac{2ql}{3F}$, $\sigma_3 = \frac{N_3}{F} = \frac{2ql}{F}$.

Осевые перемещения относительно сечения A:

$$W_1 = \Delta Z_1 = \frac{N_1 z_1}{2EF} = -\frac{2ql^2 z_1}{2EF}; \quad z_1 = 0, \quad W_1 = W_A = 0;$$

$$\zeta_1 = l, \quad W_1 = W_B = -\frac{ql^2}{EF}, \quad \text{зримение влево}.$$

$$W_2 = \omega_{AB} \Delta Z_2 + \Delta Z_2 = -\frac{q l^2}{E r} + \int_0^{z_2} \frac{N_2 d z_2}{3 F} = -\frac{q l^2}{E F} + \int_0^{z_2} \frac{(2 q l - 3 q l) d z_2}{3 E F} =$$

$$= -\frac{q l^2}{E F} + \frac{7 q l^2}{6 E F} - \frac{q l^2}{E F}; \quad z_2 = 0, \quad W_2 = W_B = -\frac{q l^2}{E F};$$

$$Z_2 = 4l, \quad W_2 = W_C = -\frac{7ql^2}{EF}, \quad \text{зримение влево}, \quad \text{характер}$$

напрям W на участке BC определяется квадратичной функцией W_2 .

Получаем функцию W_C в экстремуме. Из уравнений $\frac{dW_2}{dz_2} = 0$,

$$\frac{C z_2 - q l}{3 E F} = 0$$
 находим абсциссу $z^* = 3l$ вершины параболы

$$Z_2 = Z^* = 3l. \quad \text{При } z_2 = 3l \quad \text{находим экстремальное значение}$$

$$W_2 = -\frac{q l^2}{E F} + \frac{q(3l)^2}{6 E F} - \frac{q l \cdot 3l}{E F} = -\frac{5 q l^2}{2 E F}, \quad \text{влево}.$$

Если значение z^* оказывается за пределами исследуемого участка, то это означает, что экстремум функции не имеет физического смысла, так как вершина параболы не лежит вин участка.

$$W_3 = \Delta L_{AC} + \Delta Z_3 = -\frac{7q^2}{3EF} + \frac{2qlz_3}{EF}; \quad z_3 = 0, \quad W_3 = W_C = -\frac{7ql^2}{3EF}.$$

$$z_3 = 1.5l, \quad W_3 = W_D = \frac{2ql^2}{3EF}, \quad \text{зримение вправо}.$$

Эпюры продольных сил N , нормальных напряжений σ и осевых перемещений W показаны на рис. II.

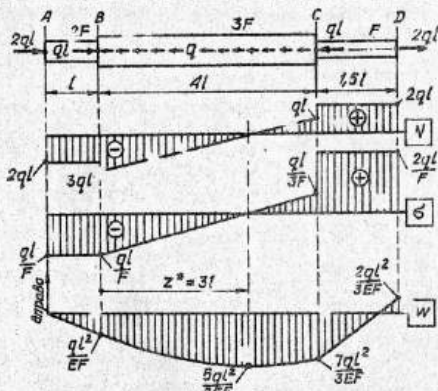


Рис. II

Эпюра σ показывает, что самым напряженным оказался участок CD : во всех поперечных сечениях участка нормальные напряжения имеют наибольшее значение $\sigma_{max} = \frac{2ql}{F}$ /растяжение/. Это значение и служит для оценки прочности стержня, т.е. для определения коэффициента запаса по пределу текучести.

$$\pi_T = \frac{\sigma_T}{\sigma_{max}} \cdot \frac{c_T \cdot F}{2ql}.$$

В последующих задачах рассмотрены статически неопределенные силы, в которых количество неизвестных силовых факторов τ лежит помимо уравнений статики составления уравнений перемещений, так как число неизвестных превышает число уравнений статического равновесия. В задаче 3 показано раскрытие статической неопределенности на примере стержня с жестко закрепленными торшами.

Задача 3. Построим эпюры продольных сил N , нормальных напряжений σ и осевых перемещений w сечений. Найти величину площади F поперечного сечения (рис. 12), озаглав $P =$

$$= 40 \text{ кН}, \sigma_{tp} = \sigma_{tc} = 240 \text{ МПа}, \\ n = 2,0.$$

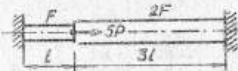


Рис. 12

Решение. Заменим опоры осевыми силами R_A и R_C произвольного направления (рис. 13), составим уравнение равновесия стержня:

$$\Sigma P = 0, -R_A + 5P + R_C = 0, \\ R_A - R_C = 5P. \quad /1/$$

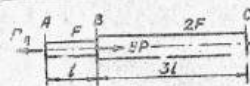


Рис. 13

Одно единственное уравнение равновесия содержит две неизвестных силы, следовательно, система неоднозначна. Чтобы полу-

чить второе уравнение (уравнение перемещений), необходимо установить зависимость между изменениями длины элементов системы. В данном случае концевые сечения А и С неподвижны, поэтому длина стержня не изменяется, т.е. алгебраическая сумма изменений длины участков AB и BC равна нулю:

$$\Delta l_{AC} = \Delta l_{AB} + \Delta l_{BC} = 0 \quad \text{или} \quad \frac{N_1 \cdot L}{E \cdot F} + \frac{N_2 \cdot 3l}{E \cdot 2F} = 0 \quad /2/$$

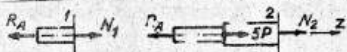


Рис. 14

Из уравнений равновесия $\Sigma P_z = 0$ отсеченных частей стержня (рис. 14) следует, что $N_1 = R_A$, $N_2 = R_A - 5P$.

$$\text{Подставляя в /2/, получаем } \frac{R_A \cdot l}{E \cdot F} + \frac{(R_A - 5P) \cdot 3l}{E \cdot 2F} = 0,$$

откуда $R_A = 3P$. Знак тире указывает, что выбранное направление силы R_A (см. рис. 13) совпадает с действительным.

Из /1/ следует, что $R_C = -2P$. Знак минус означает, что направлены силы R_C противоположно показанному на рис. 13. Итак, статическая неопределенность раскрыта — найдены величины и направления реакций от τ (рис. 15). Но та же самая расчеты по построению эпюр выполнены расчетом, уложенным в задаче 1.

Продольные силы:

$$l_1 = 3l, N_2 = -2P$$

(см. рис. 15).

Нормальные напряжения:

$$\sigma_1 = \frac{N_1}{F} = \frac{7D}{F},$$

$$\sigma_2 = \frac{N_2}{2F} = -\frac{2P}{2F} = -\frac{P}{F}.$$

Осевые перемещения:

$$W_1 = \Delta Z_1 = \frac{N_1 \cdot z_1}{E \cdot F} = \frac{2P \cdot z_1}{E \cdot F},$$

$$z_1 = 0, W_1 = W_A = 0,$$

$$z_2 = l, W_1 = W_B = \frac{3P \cdot l}{E \cdot F}$$

/перемещение вправо/:

$$W_2 = \Delta l_{AB} + \Delta Z_2 = W_B + \frac{N_2 \cdot z_2}{E \cdot 2F} = \frac{3P \cdot l}{E \cdot F} - \frac{2P \cdot z_2}{E \cdot 2F};$$

$$z_2 = 0, W_2 = W_B = \frac{3Pl}{EF}; \quad z_2 = 3l, W_2 = W_C = 0, \quad \text{что и следовало ожидать, так как сечение С неподвижно.}$$

Эпюры продольных сил N , нормальных напряжений σ и осевых перемещений w показаны на рис. 15.

Заметим, что эпюра осевых перемещений при отсутствии распределенных нагрузок имеет на каждом участке линейный характер и поэтому может быть постоянна, если известны значения перемещений граничных сечений. Например, в этой задаче эпюра

осевые перемещений строится по трем эпюнам: $W_A = 0$,

$$W_B = \sigma'_{AB} = \frac{3P \cdot l}{EF} + \sigma_C = 0.$$

Площадь поперечного сечения F стержня определяется из условия прочности $\sigma \leq \sigma_{max}$, где σ_{max} - наибольшее нормальное напряжение, $\sigma = \frac{\sigma_t}{n_r}$ - допускаемое напряжение.

$$\text{данном случае } \frac{3P}{F} \leq \frac{\sigma_{tp}}{n_r} \text{ и } F \geq \frac{3P \cdot n_r}{\sigma_{tp}} = \frac{3 \cdot 40 \cdot 10^3}{240} = 1000 \text{ см}^2.$$

Нетрудно найти линейный размер сечения в зависимости от его формы. Например, стержень круглого сечения должен иметь наименьший диаметр $3n_r \sqrt{3} \approx 36$ мм, а стержень квадратного сечения должен иметь размер стороны не менее $31,6 \approx 32$ мм.

В задачах 4 и 5 изомотрено влияние изменения температуры на напряжения и перемещения в статически неопределенных системах.

ЗАДАЧА 4. Стержень установлен между жесткими опорами при температуре $t_1 = 20^\circ\text{C}$ (рис. 16). Найти наибольшее нормальное напряжение в поперечном сечении стержня, вычислить осевое перемещение сечения B при температуре $t_2 = 60^\circ\text{C}$, дано: $l = 100$ мм, $E = 22 \cdot 10^6$ 1/град, $E = 7,5 \cdot 10^4$ МПа /микраль/.

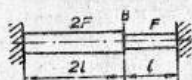


Рис. 16

Система. При повышении температуры стержень должен получить удлинение $\Delta l = \alpha \cdot 3l \cdot \Delta t$, где $\Delta t = t_2 - t_1 = 60 - 20 = 40^\circ\text{C}$. Этому удлинению противостоят опоры, длинны которых сводятся к появлению ревитивных сил.



Рис. 17

R_A и R_C (рис. 17), вызывающих сжатие стержня. Из уравнения равновесия $\sum P_z = 0$ следует, что $R_A = R_C$, но величина сил остается неизвестной. Чтобы раскрыть статическую неопределенность, нужно составить уравнение перемещений,

как как концевые сечения A и C неподвижны, то $\Delta l_{AC} = 0$,

$$\text{или } \alpha \cdot 3l \cdot \Delta t + \frac{N_1 \cdot Z_1}{E \cdot F} + \frac{N_2 \cdot l}{E \cdot F} = 0.$$

Учитывая, что $N_1 = N_2 = -R_A$ (см. рис. 17), получаем:

$$\alpha \cdot 3l \cdot \Delta t - \frac{R_A \cdot Z_1}{E \cdot F} - \frac{R_A \cdot l}{E \cdot F} = 0 \text{ и } R_A = \frac{3}{2} \alpha \cdot \Delta t \cdot E \cdot F$$

Знак плюс указывает, что направление силы R_A на рис. 17 совпадает с действительным.

Продольные силы:

$$N_1 = N_2 = -R_A = -\frac{3}{2} \alpha \cdot \Delta t \cdot E \cdot F.$$

Нормальные напряжения:

$$\sigma_1 = \frac{N_1}{2F} = -\frac{3}{4} \alpha \cdot \Delta t \cdot E,$$

$$\sigma_2 = \frac{N_2}{F} = -3 \cdot \alpha \cdot \Delta t \cdot E.$$

Эпюры продольных сил N и нормальных напряжений σ изображены на рис. 18.

Наибольшее втягивание

$$\sigma = \sigma_2 = -\frac{3}{2} \alpha \cdot \Delta t \cdot E = -\frac{3}{2} \cdot 22 \cdot 10^{-6} \cdot 40 \cdot 7,5 \cdot 10^4 = -10^8 \text{ кн/м}^2.$$

Рис. 18

этот результат, составляющий приблизительно одну третью текущих напряжений для дюраля $\sigma_{TC} = 840$ МПа, показывает, что температурные напряжения могут оказывать существенное влияние на прочность.

Осевое перемещение зажима I определяется за изменение длины участка Z_1 (см. рис. 18):

$$w_I - \Delta z_I = \alpha \cdot z_I \cdot \Delta t + \frac{N_1 \cdot Z_1}{E \cdot F} = \alpha \cdot z_I \cdot \Delta t - \frac{3}{4} \alpha \cdot z_I \cdot \Delta t;$$

$Z_1 = 0$, $w_I = w_A = 0$, $Z_1 = 2l$, $w_I = w_B = \frac{1}{2} \alpha \cdot l \cdot \Delta t$ /перемещение вправо/. Перемещение сечения B можно вычислить также и как изменение длины участка BC :

$$W_B = \Delta l_{BC} = \alpha \cdot l \cdot \Delta t + \frac{N_2 \cdot l}{E F} = \alpha \cdot l \cdot \Delta t - \frac{3}{2} \alpha \cdot l \cdot \Delta t = -\frac{1}{2} \alpha \cdot l \cdot \Delta t = -\frac{1}{2} \cdot 22 \cdot 1 \cdot \frac{5}{40 \cdot 10^3} = -0,044 \text{ мм /перемещение вправо.}$$

ЗАДАЧА 5. На сколько градусов Δt нужно повысить температуру стержней AB и CD (рис.19), чтобы зазор δ закрылся?



Построить эпюры продольных сил N , нормальных напряжений σ и осевых перемещений W при повышении температуры на $\Delta t = 2\Delta t$ градусов. даны δ, l, E, F, α .

Рис. 19

Решение. Зазор δ закрывается, если суммарное удлинение стержней окажется равным величине зазора: $\alpha \cdot 2l \cdot \Delta t + \alpha \cdot l \cdot \Delta t = \delta$, отсюда

$$\Delta t = \frac{\delta}{3\alpha l}.$$

При повышении температуры на $\Delta t_1 = 2\Delta t$ возникнут реакции в опорах, при чём $R_A = -R_D$ (рис.20).

Составляем уравнение перемещений, учтывая, что начальный зазор δ между стержнями AB и CD имеет возможность увеличиться на величину начального зазора δ :

$$\alpha \cdot 2l \cdot \Delta t_1 + \frac{N_1 \cdot 2l}{E \cdot 2F} + \alpha \cdot l \cdot \Delta t_1 + \frac{N_2 \cdot l}{E F} = \delta;$$

так как $N_1 = N_2 = -R_A$ (см. рис.20) и $\Delta t_1 = 2\Delta t$, то

$$\alpha \cdot 3l \cdot 2\Delta t - \frac{R_A \cdot 2l}{E \cdot 2F} - \frac{R_A \cdot l}{E F} = \delta.$$

Подставив $\Delta t = \frac{\delta}{3\alpha l}$, находим $R_A = \frac{E F \delta}{2l}$.

Продольные силы: $N_1 = N_2 = -R_A = -\frac{E F \delta}{2l}$.

Нормальные напряжения: $\sigma_1 = \frac{N_1}{2F} = -\frac{E \delta}{4l}$, $\sigma_2 = \frac{N_2}{F} = -\frac{E \delta}{2l}$.

Осевые перемещения: $W_B = \Delta l_{AB} = \alpha \cdot 2l \cdot \Delta t + \frac{N_1 \cdot 2l}{2EF} =$

$$= \alpha \cdot 2l \cdot 2 \frac{\delta}{3\alpha l} - \frac{E F \delta \cdot 2l}{2l \cdot 2EF} = \frac{5}{6} \delta. \quad \text{знак плюс зазор.}$$

Рис. 20

вает на увеличение длины участка AB , что при неподвижном сечении A означает перемещение сечения B вправо;

$$W_C = \Delta l_{CD} = \alpha \cdot l \cdot \Delta t_1 + \frac{N_2 \cdot l}{E F} = \alpha \cdot l \cdot 2 \frac{\delta}{3\alpha l} - \frac{E F \delta \cdot l}{2l \cdot E F} = \frac{1}{6} \delta$$

знак плюс указывает на увеличение длины участка CD , что при неподвижном сечении D означает перемещение сечения C влево.

Эпюры продольных сил N , нормальных напряжений σ и осевых перемещений W показаны на рис. 21. Разрывы в

эпюре W , отражающий взаимное перемещение сечений B и C , равен, как и следовало ожидать, начальному зазору δ .

ЗАДАЧА 6. Стержни AB и CD установлены начальным зазором Δ . (рис.22). Построить эпюры продольных сил N , нормальных напряжений σ и осевых перемещений W при двух значениях силы P : 1) $P_1 = P$, 2) $P_1 = 3P$, полагая, что $\Delta = \frac{2F}{E F}$.

Вычислить наибольшие напряжения в обоих случаях x , полагая $E = 30 \text{ кН}$, $F = 500 \text{ мм}^2$.

Решение. Если зазор не закрыт (рис.23), то сила P_1 растягивает лишь участок AK , и сечения K и B получают одинаковые относительные перемещения $W_K = W_B = \frac{A l}{E F}$. При $P_1 = P$ перемещение $W_B = \frac{l}{E F}$ меньше

величины зазора Δ . Следовательно, зазор остается открытым, и сектор AK не нагружен. Эпюры продольных сил N , нормальных напряжений σ и осевых перемещений W для этого случая даны на рис. 23.

Нормальное напряжение

$$\sigma = \frac{P}{F} = \frac{30 \cdot 10^3}{500} = 60 \text{ МПа.}$$

Рис. 22

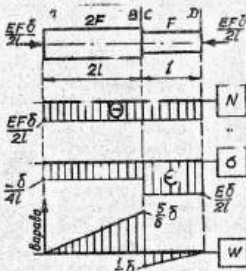


Рис. 21

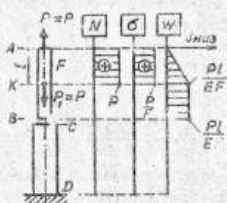


Рис. 28

Из уравнения $W_B = \frac{P_1 l}{EF} = -$
следует, что зазор закрывается
при $P_1 = \frac{EF \cdot \Delta}{l} = \frac{EF \cdot 2Pl}{l \cdot EF} = 2P$.

Следовательно, при $P_1 = 3P$ за-
зор будет закрыт, и стержень CD
нагружены (рис. 24).

Уравнение равновесия:

$$R_A - 3P + R_D = 0.$$

При составлении уравнения пе-
ренесений учтываем, что суммар-
ное изменение длин стержней раз-
лич величин начального зазора:

$$\Delta l_{AB} + \Delta l_{CD} = \Delta.$$

Внутренние силы N_1, N_2, N_3 в поперечных сече-
ниях всех частей показаны на рис. 35.

$$\text{Так как } \Delta l_{AB} = \Delta l_{AK} + \Delta l_{KB} = \frac{N_1 \cdot l}{EF} + \frac{N_2 \cdot l}{EF} = \\ = \frac{R_A \cdot l}{EF} + \frac{(R_A - 3P) \cdot l}{EF} \text{ и } \Delta l_{CD} = \frac{N_3 \cdot 2l}{E \cdot 2F} = \frac{(R_A - 3P) \cdot 2l}{E \cdot 2F},$$

то уравнение перемещений получает вид:

$$\frac{R_A \cdot l}{EF} + \frac{(R_A - 3P) \cdot l}{EF} + \frac{(R_A - 3P) \cdot 2l}{E \cdot 2F} = \frac{2Pl}{EF}, \quad R_A = \frac{5}{3}P.$$

Уравнение равновесия следует, что $R_D = \frac{1}{3}P$.

Продолжим схему:

$$N_1 = R_A = \frac{5}{3}P, \quad N_2 = N_3 = R_A - 3P = \frac{5}{3}P - 3P = -\frac{P}{3}.$$



Рис. 24

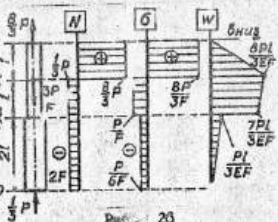
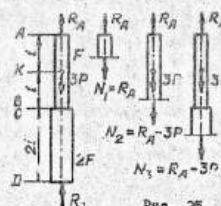


Рис. 29

Нормальные напряжения:

$$\sigma_1 = \frac{N_1}{F} = \frac{8P}{3F}, \quad \sigma_2 = \frac{N_2}{F} = -\frac{P}{3F}, \quad \sigma_3 = \frac{N_3}{2F} = -\frac{P}{6F}.$$

На эпюрах N и σ (рис. 26) положительные значения отложены вправо, отрицательные — влево.

Основные перемещения: $W_A = \pi, \quad W_D = 0;$

$$W_K = \Delta l_{AK} = \frac{N_1 \cdot l}{EF} = \frac{8Pl}{3EF} / \text{перемещение вниз}/$$

$$W_B = \Delta l_{AB} = W_K + \Delta l_{KB} = W_K + \frac{N_2 \cdot l}{EF} = \frac{8Pl}{3EF} - \frac{Pl}{3EF} = \frac{7Pl}{3EF} / \text{не-} \\ \text{рекомендуемое перемещение вниз}/$$

$$W_C = \Delta l_{CD} = \frac{N_3 \cdot 2l}{E \cdot 2F} = -\frac{P \cdot 2l}{3E \cdot 2F} = -\frac{Pl}{3EF} / \text{перемещение вниз}/$$

Отметим, что перемещенияечелей B и C отличаются друг от друга на $\frac{2Pl}{EF}$ (см. рис. 26), т.е. на величину начального зазора A .

Наибольшее напряжение

$$\sigma = \frac{8P}{3F} = \frac{l \cdot 80 \cdot 10^3}{3 \cdot 500} = 160 \text{ МПа.}$$

В последующих задачах рассматривается конструкция, предста-
вленная образ системой шарниро соединенных стержней. Если система включает стержень большей жесткости, длина которого на-
значена мала, то ее ущерб для точности расчета могут не учи-
тываться, то в условиях задач такой стержень называется листом
бруса.

ЗАДАЧА 7. Жесткий брус соединен шарниро с неподвижной опо-
гой О и подведен на стальных стержнях АВ и СД (рис. 27). Опре-
делить усилия в стержнях и найти величину площади F при $P =$

$$= 100 \text{ кн. и } [C] = 150 \text{ МПа.}$$

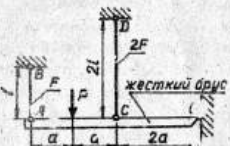


Рис. 27

Решение. Используя метод сече-
ний, показавая внутренние силы
 N_1 и N_2 в поперечных сечениях
стержней (рис. 28). Очевидно, что
оба стержня затачены, поэтому
известные продольные силы F' и
 N_2 изобразим стрелками, направ-
ленными от сечений.

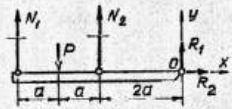


Рис. 28

Составляющие реакции опоры
оос нач. из R_1 и R_2 , направления
них выбраны произвольно.
Зависимости равновесия:

$$\Sigma F_x = 0, \quad R_2 = 0, \quad /1/$$

$$\Sigma F_y = 0, \quad N_1 - P + N_2 + R_1 = 0; \quad /2/$$

$$\Sigma M_O = 0, \quad N_1 \cdot 4a - P \cdot 3a + \\ + N_2 \cdot 2a = 0, \quad 4N_1 + 2N_2 - 3P. \quad /3/$$

Без трех уравнений, зависящих недостаточно для определения четырех неизвестных усилий. Система один раз статически не определима. Чем же составить недостающее уравнение, установив зависимость между изменениями длии стержней. С этой целью изобразим систему в деформированном состоянии (рис. 28).

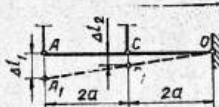


Рис. 29

мы по сравнив с линейными размерами элементов системы, что эти углы при практически не отличаются от показанных на чертеже приведенных отрезков AA_1 и CC_1 . Определив весы изм. величин, перемещений пр. упругих деформаций системе поможет также сопоставление: если все элементы системы, начиная при $t = 1$ м, вырастут в том же масштабе, который был бы для отрезков Δl_1 и Δl_2 на рис. 28, то размер чертежа увеличится примерно в 700 раз.

Из подобия треугольников AOA_1 и COC_1 , легко получить уравнение перемещений: $\Delta l_1 = 2\Delta l_2$.

$$Так как \Delta l_1 = \frac{N_1 \cdot L}{E \cdot F} \text{ и } \Delta l_2 = \frac{N_2 \cdot 2L}{E \cdot 2F}, \text{ то } \frac{N_1 \cdot L}{E \cdot F} = \\ = 2 \frac{N_2 \cdot 2L}{E \cdot 2F}, \text{ т.е. } N_1 = 2N_2. \quad /4/$$

Суммая совместно уравнения /3/ и /4/, находим в

стержнях:

$$N_1 = \frac{6}{10} P = \frac{6 \cdot 100}{10} = 60 \text{ кН,} \quad N_2 = \frac{3}{10} P = \frac{3 \cdot 100}{10} = 30 \text{ кН.}$$

Нормальные напряжения:

$$\sigma_1 = \frac{N_1}{F} = \frac{6P}{10F}, \quad \sigma_2 = \frac{N_2}{2F} = \frac{3P}{20F}.$$

Необходимая величина площади поперечного сечения определяется условием прочности $\sigma \leq [\sigma]$.

Весь $\sigma = \frac{6P}{10F}$ /стержень AB/, следовательно, $\frac{6P}{10F} \leq [\sigma]$
и $F = \frac{6P}{10[\sigma]} = \frac{6 \cdot 100 \cdot 10^3}{10 \cdot 150} = 400 \text{ мм}^2$.

ЗАДАЧА 8. Три одинаковых стальных стержня поддерживают жесткий брус (рис. 30). Найти наибольшую допускаемую величину силы P при $F = 500 \text{ мм}^2$, $\sigma_{tp} = \sigma_{tc} = 400 \text{ МПа}$ /сталь 45, изнакианка/, $\sigma_{\max} = 2$. Вычислить работу силы P и потенциальную энергию деформации стержневой системы, полагая $t = 200 \text{ ми}$ и $F = 2 \cdot 10^5 \text{ МПа}$.



Рис. 30

Решение. Предполагаем, что все стержни испытывают изгибание, направим продольные силы N_1 , N_2 и N_3 от сечений (рис. 1) и составим уравнения равновесия:

$$\Sigma P_y = 0, \quad N_1 + N_2 + N_3 - P = 0; \quad /1/$$

$$\Sigma m_O = 0, \quad N_2 \cdot 2a + N_3 \cdot 3a - \\ - P \cdot a = 0. \quad /2/$$

Для определения трех неизвестных сил необходимо составить еще одно уравнение. Это уравнение должно отражать зависимость между изменениями длии стержней.

Изогнем систему в деформированном состоянии. Положение жесткого бруса после нагружения системы силой P обозначено пунктиром (рис. 32). Все стержни получили упругие и в соответствии со сделанным выше предположением, что они испытывают

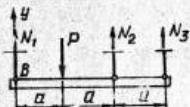


Рис. 31

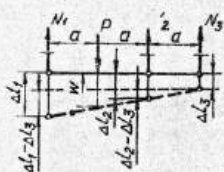


Рис. 32

растяжение. Зависимость между изменениями длии стержней определяется из подобия двух треугольников, один из которых имеет катеты $3a$ и $\Delta l_1 - \Delta l_2 - \Delta l_3$, а второй — a и $\Delta l_2 - \Delta l_3$.

$$\frac{\Delta l_1 - \Delta l_2 - \Delta l_3}{\Delta l_2 - \Delta l_3} = \frac{3a}{a},$$

$$\text{или } \Delta l_1 - 3\Delta l_2 + 2\Delta l_3 = 0. /8/$$

Так как $\Delta l_1 = \frac{N_1 L}{EF}$, $\Delta l_2 = \frac{N_2 L}{EF}$ и $\Delta l_3 = \frac{N_3 L}{EF}$, то, подставляя их в /8/, получаем $N_1 - 3N_2 + 2N_3 = 0$. /4/ Решая совместно уравнения (равновесия /1/, /2/ и уравнение перемещений /4/, находим продольные силы в стержнях:

$$N_1 = \frac{4}{7}P, \quad N_2 = \frac{2}{7}P, \quad N_3 = \frac{1}{7}P.$$

Отметим, что все силы положительны. Это означает, что выбранные направления их (см. рис. 32) совпадают с действительными.

Допускаемая сила P определяется из условия прочности: $\sigma_{\max} \leq [\sigma]$.

$$\text{Здесь } \frac{N_1}{F} = \frac{4P}{7F} = \frac{4[\sigma]}{7E} \text{ — наибольшее нормальное напряжение,}$$

$[\sigma] = \frac{6TP}{\pi r^2}$ — допускаемое напряжение. Следовательно, $\frac{4P}{7F} \leq \frac{6TP}{\pi r^2}$

$$P \leq \frac{7F6TP}{4\pi r^2} \text{ — наибольшее допускаемое значение силы}$$

$$P = \frac{7F6TP}{4\pi r^2} = \frac{500 \cdot 400}{\pi \cdot 2} = 175000 \text{ Н} = 175 \text{ кН.}$$

Работа силы

$$A = \frac{1}{2}P \cdot W_p, \text{ где } W_p = \frac{\Delta l_1 + \Delta l_2}{2} = \frac{1}{2} \left(\frac{N_1 L}{EF} + \frac{N_2 L}{EF} \right) = \frac{1}{2} \left(\frac{4PL}{7EF} + \frac{2PL}{7EF} \right) = \frac{3PL}{7EF} \text{ — перемещение точки приложения силы (см. 32).}$$

Следовательно,

$$A = \frac{1}{2}P \cdot \frac{3L}{7EF} = \frac{3P^2 L}{14EF} = \frac{3 \cdot (175 \cdot 10^3)^2 \cdot 0.2}{14 \cdot 2 \cdot 10^5 \cdot 70^6 \cdot 500 \cdot 10^{-6}} = 19,1 \text{ Дж.}$$

Потенциальная энергия деформации

$$U = \frac{3}{2} \frac{N_1^2 \cdot L}{2EF} = \frac{(4P)^2 \cdot L}{2EF} + \frac{(2P)^2 \cdot L}{2EF} + \frac{(\frac{1}{7}P)^2 \cdot L}{2EF} = \frac{3P^2 L}{14EF}.$$

Значения A и U совпадают, что отражает заслугу спрятания энергии и служит проверкой решения.

ЗАДАЧА 9. Стержневая система, изображенная в задаче 8, дополняется четвертым стержнем (рис. 33). Какова величина наибольшей допускаемой силы P ?

Решение. Уравнения равновесия (рис. 34):

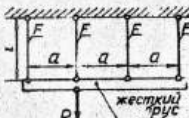


Рис. 33

Стержневая система давала статически неопределенную. Для определения четырех неизвестных сил необходимо составить два уравнения перемещений. На рис. 35 изображены два положения жесткого бруса: до нагружения системы сплошной линией и после: приложения /пунктир/. Подобие треугольников позволяет составить два уравнения перемещений:

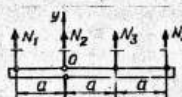


Рис. 34

$$\frac{\Delta l_1 - \Delta l_4}{3a} = \frac{\Delta l_2 - \Delta l_4}{a} \quad \text{и}$$

$$\frac{\Delta l_2 - \Delta l_4}{2a} = \frac{\Delta l_3 - \Delta l_4}{a}.$$

$$\text{Учитывая, что } \Delta l_i = \frac{N_i \cdot L}{EF},$$

приводим уравнения к виду

$$N_1 - 3N_4 = 0, \quad /8/$$

$$N_2 - 2N_3 + N_4 = 0. \quad /4/$$

Решая совместно уравнения /1/ — /4/, находим промежуточные

$$\text{силы } N_1 = \frac{4}{10}P, \quad N_2 = \frac{3}{10}P, \quad N_3 = \frac{2}{10}P, \quad N_4 = \frac{1}{10}P.$$

Допускаемая сила P определяется из условия прочности:

$$\sigma_{\max} [\sigma]. \quad \text{Наибольшее нормальное напряжение } \sigma_{\max} = \frac{N_1}{F} = \frac{4P}{10F},$$

следовательно, $\frac{4P}{10F} \leq \frac{\sigma_{\max}}{F}$ и $P \leq \frac{10F\sigma_{\max}}{4}$.

Наибольшее допускаемое значение силы

$$P = \frac{10F\sigma_{\max}}{4} = \frac{10 \cdot 500 \cdot 400}{4} = 250000 \text{ Н} = 250 \text{ кН}.$$

Что является на 48% выше результата, полученного в задаче 5.

ЗАДАЧА 10. Жесткий брус имеет в верхнем опоре. О и соединен с тремя стальными стержнями 1-2-3 (рис. 83). Фактическая длина стержня 2 оказалась меньше проектной на величину $\delta = 0,001l$. Какова величина нормальных напряжений, возникающих в стержнях после сбояки системы? Принять и для упругости первого рода, равным $2 \cdot 10^5 \text{ МПа}$.

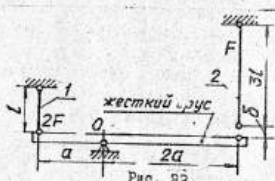


Рис. 83

Решение. После сборки системы жесткий брус AB займет новое положение A_1B_1 (рис. 84). Стержни 1 и 2 получат удлинение Δl_1 и Δl_2 .

Продольные силы, возникающие в растянутых стержнях, обозначим N_1 и N_2 .

Уравнения равновесия: $\sum P_y = 0$, $N_1 - R + N_2 = 0$; /1/
 $\sum m_O = 0$, $N_1 \cdot 2a - N_2 \cdot 2a = 0$ или $N_1 = 2N_2$. /2/

Уравнение перемещений / $\Delta OA_1A_1 \approx 0$

$\Delta OBB_1 / 1:$

$$\frac{\Delta l_1}{l} = \frac{\delta - \Delta l_2}{2a},$$

или $2\Delta l_1 + \Delta l_2 = \delta$.

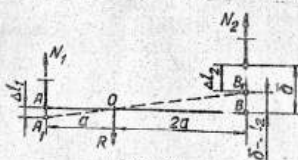


Рис. 84

$$\text{Так как } \Delta l_1 = \frac{N_1 \cdot l}{E \cdot 2F}, \quad \Delta l_2 = \frac{N_2 \cdot 3l}{E \cdot F} \quad \text{и} \quad \delta = 0,001l, \quad \text{то}$$

$$2 \frac{N_1 \cdot l}{E \cdot 2F} + \frac{N_2 \cdot 3l}{E \cdot F} = 0,001l \quad \text{и} \quad N_1 + 3N_2 = 0,001EF.$$

$$\text{Используя /2/, находим } N_1 = \frac{EF}{2500}, \quad N_2 = \frac{EF}{5000}.$$

Но: действующие напряжения в поперечных сечениях стержней

$$\sigma_1 = \frac{N_1}{2F} = \frac{EF}{2500 \cdot 2F} = \frac{E}{5000}, \quad \sigma_2 = \frac{N_2}{F} = \frac{EF}{5000F} = \frac{E}{5000}.$$

следовательно, в данном случае оба стержня испытывают одинаковые напряжения.

$$\sigma = \frac{E}{5000} = \frac{2 \cdot 10^5}{5000} = 40 \text{ МПа}.$$

В последующих задачах рассмотрены симметричные статически неопределенные системы. Если симметричная в геометрическом отношении стержневая система находится под симметричной нагрузкой (рис. 85), то возникающие деформации будут симметричны. Это означает, что изменения длии симметрично расположенных элементов будут одинаковы и, следовательно, будут равны и продольные силы в этих элементах:

$$N_1 = N_4, \quad N_2 = N_5, \quad N_3 = N_6.$$

В данном примере решить задачи сводится к отысканию трех неизвестных сил, а не шести, как это было бы в несимметричной системе. В общем же случае число неизвестных уменьшается на чило симметричных пар элементов.

ЗАДАЧА II. Стержневая система состоит из пяти стальных стержней, имеющих одинаковую площадь поперечных сечений, и нагружена силой $P = 30 \text{ кН}$ (рис. 86). Определить коэффициент предела текучести при $F = 100 \text{ мм}$, $\sigma_{tp} = \sigma_{tc} = 270 \text{ МПа}$.

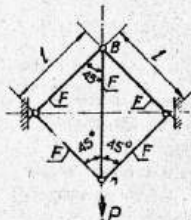


Рис. 36

Решение. Коэффициент залас по пределу текучести

$$\pi_T = \frac{\sigma_T}{\sigma_{max}}$$

Все стержни имеют одинаковые площади поперечных сечений, поэтому

$$\sigma_{n,x} = \frac{N_{max}}{F}$$

Заданы следующие, следовательно, к определению наибольшей продольной силы.

Стержни узлы A и B (рис. 36) и поставлены внутренне силы. В симметрично расположенных стержнях эти силы одинаковы. Направление сил выбрано, вообще говоря, произвольно. И это ли не следить за тем, чтобы соотношество между знаком внутренней силы N и знаком изменения длины стержня Δl . Если внутренняя сила в каком-либо стержне направлена от сечения $|N| > 0$, то для компенсации возникшего несоответствия в знаках изменения длины выражают формулой

$$\Delta l = -\frac{Nl}{E}$$

В некоторых случаях удобно начертить схему деформированного состояния системы, а затем показать внутренние силы, направляя их от сечения для стержней, поддающихся удлинения, и к сечению — для стержней, поддающихся корочению.

На рис. 37 все внутренние силы показаны полустрелками. Уравнения равновесия узлов A и B:

$$\begin{aligned} \Sigma P_y &= 0, \quad 2N_1 \cos 45^\circ + N_2 - P = 0, \\ N_2 + 2N_3 \cos 45^\circ &= 0. \end{aligned}$$

/1/
/2/

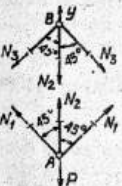


Рис. 37

Стержневая система статически неопределенна. Чтобы составить уравнение перемещений, изобразим систему в деформированном состоянии (рис. 38). Так как перемещения узлов A и B вес ма- лы по сравнению с размерами стержней, то изменения углов

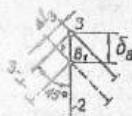


Рис. 38

между ними можно пренебречь и считать, что новое положение стержней (пунктир) параллельно начальному.

Перемещения узлов A и B связаны соответственно с удлинением стержня I и укорочением стержня 3:

$$\delta_A = \frac{\Delta l}{\cos 45^\circ}, \quad \delta_B = \frac{\Delta l_3}{\cos 45^\circ}$$

Удлинение стержня 2 определяется разностью перемещений его конечных сечений:

$$\Delta l_2 = \delta_A - \delta_B = \frac{\Delta l_1}{\cos 45^\circ} - \frac{\Delta l_3}{\cos 45^\circ} + \beta l$$

Сравнивая силовую схему (см. рис. 37) и схему перемещений (см. рис. 38), отметим, что отличие от стержней 1 и 2, в которых знаки N_1 и Δl_1 , N_2 и Δl_2 одинаковы, в стержне 3 знаки N_3 и Δl_3 различны, поэтому

$$\Delta l_1 = \frac{N_1 l}{E F}, \quad \Delta l_2 = \frac{N_2 l \sqrt{2}}{E F}, \quad \Delta l_3 = -\frac{N_3 l}{E F}$$

Подставляя эти выражения в уравнение перемещения /3/, получаем

$$\frac{N_2 l \sqrt{2}}{E F \cos 45^\circ} = \frac{N_1 l}{E F \cos 45^\circ} + \frac{N_3 l}{E F \cos 45^\circ}$$

$$\text{или } N_1 - N_2 + N_3 = 0.$$

Решая систему уравнений /1/, /2/, /4/, находим продольные силы:

$$N_1 = 0,50 P, \quad N_2 = 0,25 P, \quad N_3 = -0,31 P$$

Знак минус свидетельствует о том, что действительное направление силы N_3 противоположно указанному на рис. 37.

Наибольшее напряжение

$$\sigma_{max} = \frac{N_{max}}{F} = \frac{N_1}{F} = \frac{0,50 \cdot 30 \cdot 10^3}{160} = 150 \text{ МПа.}$$

Коэффициент π записан по пределу текучести

$$\pi_T = \frac{\sigma_T}{\sigma_{max}} = \frac{270}{150} = 1,8.$$

ЗАДАЧА 12. Определить напряжения в стальных сечениях $E = 2 \cdot 10^5$ МПа, $\alpha = 12 \cdot 10^{-6}$ 1/град⁰, вызванные повышением температуры стержневой системы (рис.39) на $\Delta t = 50^\circ\text{C}$.

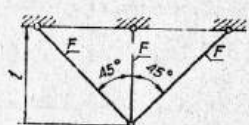


Рис. 39

Решение. Предположим, что во всех элементах системы внутренние силы положительны.

Учитывая, что симметрично расположенные элементы нагружены одинаково (рис.40), составим уравнение равновесия:

$$\sum P_y = 0, \quad 2N_1 \cos 45^\circ + N_2 = 0,$$

или $\sqrt{2} \cdot \frac{F}{l} + \frac{F}{l} = 0$. $\quad /1/$

В дополнение к полученному единственному уравнению равновесия составим уравнение перемещений. На рис.41 гипотезы элементов системы после повышения температуры показано пунктиром. Перемещение узла AA₁ в зоне мало по сравнению с длинами стержней и, следовательно, можно пренебречь незначительными изменениями углов между стержнями. Отрезки Δl_1 и Δl_2 , изображающие удлинения стержней, образуют соответственно катет и гипотенузу прямоугольного треугольника, поэтому

$$\Delta l_1 = \Delta l_2 \cdot \cos 45^\circ \text{ или } \sqrt{2} \Delta l_1 = \Delta l_2.$$

$$\text{Так как } \Delta l_1 = \alpha \frac{l}{\cos 45^\circ} \Delta t + \frac{N_1 \cos 45^\circ}{E F} = \\ = \alpha \sqrt{2} \Delta t + \frac{N_1 \sqrt{2}}{E F},$$

$$\Delta l_2 = \alpha \cdot l \cdot \Delta t + \frac{N_2 \cdot l}{E F},$$

то уравнение перемещений получает вид:

$$\sqrt{2} \left(\alpha \sqrt{2} \Delta t + \frac{N_1 \sqrt{2}}{E F} \right) = \alpha l \Delta t + \frac{N_2 \cdot l}{E F}$$

$$\text{или } N_2 = 2N_1 + \alpha \cdot l \cdot \Delta t \cdot E F.$$

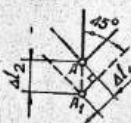


Рис. 41

Решая совместно уравнения /1/ и /2/, находим продольные силы:

$$N_1 = - \frac{\alpha \cdot l \cdot \Delta t \cdot E F}{2 - \sqrt{2}}, \quad N_2 = \frac{\sqrt{2} \alpha \cdot l \cdot \Delta t \cdot E F}{2 + \sqrt{2}}.$$

Знак минус показывает, что N_1 имеет направление, противоположное изображенному на рис.40. Следовательно, при повышении температуры вертикальный стержень l пытается растянуться, наклонные стержни — скатываться.

Нормальные напряжения в поперечных сечениях стержней:

$$\sigma_1 = \frac{N_1}{F} = - \frac{\alpha \cdot l \cdot \Delta t \cdot E}{2 + \sqrt{2}} = - \frac{12 \cdot 10^{-6} \cdot 50 \cdot 2 \cdot 10^5}{2 + \sqrt{2}} \approx - 85 \text{ МПа},$$

$$\sigma_2 = \frac{N_2}{F} = \frac{\sqrt{2} \alpha \cdot l \cdot \Delta t \cdot E}{2 + \sqrt{2}} = \frac{\sqrt{2} \cdot 12 \cdot 10^{-6} \cdot 50 \cdot 2 \cdot 10^5}{2 + \sqrt{2}} \approx 50 \text{ МПа}.$$

ЗАДАЧА 13. Определить напряжения в поперечных сечениях стержней и силы передачи узла A при $P = 50$ кН (рис.43). Стержни имеют круглое сечение диаметром $d = 16$ мм, $E = 2 \cdot 10^5$ МПа.

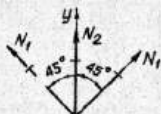
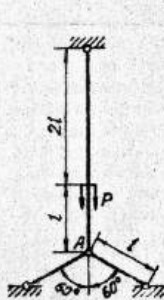


Рис. 40

Решение. Обозначим внутренние силы в поперечных сечениях: вертикального участка вертикального стержня соответственно N_1 и N_2 ; силы в симметрично расположенных наклонных стержнях обозначим N_3 (рис.44).

Уравнение равновесия для узла A (см. рис. 44 б): $N_1 - N_2 = P$, $2N_3 \cos 60^\circ - N_2 = 0$. Это дает две зависимости между искомыми силами: $N_1 + N_2 = P$, $N_2 = N_3$.



а)

б)

Рис. 43

Уравнение равновесия $\sum P_y = 0$ для вертикального участка (см. рис. 44 а): $N_1 - N_2 = 0$; $N_1 + N_2 = P$, $2N_3 \cos 60^\circ - N_2 = 0$. Это дает две зависимости между искомыми силами: $N_1 + N_2 = P$, $N_2 = N_3$.

Рис. 44

а) для узла A (см. рис. 44 б).

б) для вертикального участка

и наклонных стержней (см. рис. 44 б).

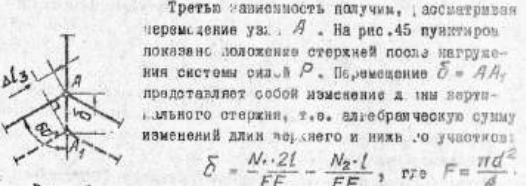


Рис. 3

Третью зависимость получим, рассмотрев перемещение узла A . На рис. 45 пунктиром показано положение стержней после нагружения силой P . Перемещение $\delta = AA'$ представляет собой изменение длины вертикального стержня, т.е. алгебраическую сумму изменений длии верхнего и нижнего участков:

$$\delta = \frac{N_1 \cdot 2l}{EF} - \frac{N_2 \cdot l}{EF}, \text{ где } F = \frac{\pi d^2}{4}.$$

Укорочение наклонного стержня A' и перемещение δ образуют катет и гипотенузу прямоугольного треугольника, следовательно, $\Delta l_3 = \delta \cdot \cos 60^\circ$,

$$\frac{N_3 \cdot l}{EF} = \left(\frac{N_1 \cdot 2l}{EF} - \frac{N_2 \cdot l}{EF} \right) \cdot 0,5, \quad 2N_1 - N_2 - 2N_3 = 0. \quad /3/$$

Решая совместно уравнения равновесия /1/, /2/ и уравнение перемещения /3/, находим

$$N_1 = \frac{3}{5}P, \quad N_2 = N_3 = \frac{2}{5}P.$$

Площадь поперечного сечения

$$F = \frac{\pi d^2}{4} = \frac{\pi \cdot 16^2}{4} = 200 \text{ мм}^2.$$

Нормальные напряжения в поперечных сечениях стержней:

$$\sigma_1 = \frac{N_1}{F} = \frac{3P}{5F} = \frac{5 \cdot 50 \cdot 10^3}{5 \cdot 200} = 150 \text{ МПа},$$

$$\sigma_2 = \sigma_3 = \frac{N_2}{F} = \frac{2P}{5F} = \frac{2 \cdot 50 \cdot 10^3}{5 \cdot 200} = 100 \text{ МПа}.$$

Перемещение узла A

$$\delta = \frac{N_1 \cdot 2l}{EF} - \frac{N_2 \cdot l}{EF} = \frac{3P \cdot 2l}{5EF} - \frac{2Pl}{5EF} = \frac{4Pl}{5EF} = \frac{4 \cdot 50 \cdot 10^3 \cdot 250}{5 \cdot 2 \cdot 10^5 \cdot 200} = 0,25 \text{ мм.}$$

ЗАДАЧА 14. Система стальных стержней нагружена силой $P = 150$ кН. Определить коэффициент запаса по пределу текучести при $\sigma_{tp} = \sigma_{tc} = 400$ МПа, $F = 100 \text{ мм}^2$, $\alpha = 30^\circ$, $\beta = 60^\circ$, $\gamma = 45^\circ$ (рис. 46).

Решение. Выделим нагруженный узел B и укажем направления внутренних сил (рис. 47), учитывая, что при перемещении узла B по направлению силы P длина стержней 1 и 2 увеличивается, а длина стержня 3 уменьшится.

Величины сил в симметричных элементах системы будут одинаковы, что следует, как указывалось выше, из равенства изменений длии этих элементов.

$$\begin{aligned} \sum P_y &= 0, \quad 2N_1 \cos \alpha + 2N_2 \cos \beta + \\ &+ 2N_3 \cos \gamma - P = 0. \quad /1/ \end{aligned}$$

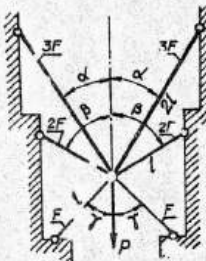


Рис. 46

Для решения задачи необходимо получить еще две уравнения. С этой целью рассмотрим перемещение узла B и найдем зависимости между изменениями длии стержней 1, 2 и 3.

На рис. 48 в положении стержней после нагружения силой системы силой P показаны пунктиром, изменения Δl_1 длии стержней изображены толстыми линиями. Эти же изменения длии каждого стержня отдельно и изображены на рис. 48 б, в, г. Отрезки Δl_1 , Δl_2 и Δl_3 образуют катеты прямоугольных треугольников с общей гипотенузой $\delta = BB'$, поэтому

$$\delta = \frac{\Delta l_1}{\cos \alpha} = \frac{\Delta l_2}{\cos \beta} = \frac{\Delta l_3}{\cos \gamma}.$$

Так как $\Delta l_1 = \frac{N_1 \cdot 2l}{E \cdot 3F}$, $\Delta l_2 = \frac{N_2 \cdot l}{E \cdot 2F}$ и $\Delta l_3 = -\frac{N_3 \cdot l}{E \cdot F}$, то

$$\frac{N_1 \cdot 2l}{E \cdot 3F \cdot \cos \alpha} = \frac{N_2 \cdot l}{E \cdot 2F \cdot \cos \beta} \quad \text{или} \quad 4N_1 \cos \alpha - 3N_2 \cos \beta = 0, \quad /4/$$

$$\frac{N_1 \cdot 2l}{E \cdot 3F \cdot \cos \alpha} = \frac{N_3 \cdot l}{E \cdot F \cdot \cos \gamma} \quad \text{или} \quad 2N_1 \cos \gamma - 3N_3 \cos \alpha = 0. \quad /5/$$

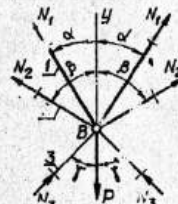


Рис. 47

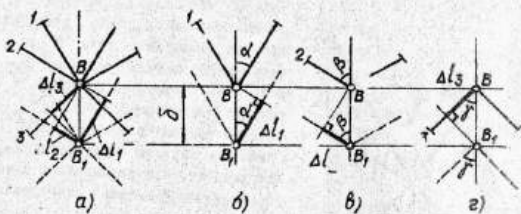


Рис. 48

Решим систему уравнений /1/-/3/, находим

$$N_1 = 0,806P = 0,806 \cdot 150 = 45,9 \text{ кН},$$

$$N_2 = 0,235P = 0,235 \cdot 150 = 35,3 \text{ кН},$$

$$N_3 = 0,167P = 0,167 \cdot 150 = 25,1 \text{ кН}.$$

Знаки plus указывают, что действительные направления внутренних сил совпадают с изображенными на рис. 47, т.е., как и предполагалось, стержни 1 и 2 испытывают растяжение, стержни 3 - сжатие.

Для проверки полученных результатов убедимся, что работа силы P и потенциальная энергия деформации стержневой системы одинаковы.

$$\begin{aligned} \text{Работа силы } P : A &= \frac{1}{2}P\delta; \text{ так как } \delta = BB_i = \frac{\Delta l_3}{\cos\gamma} = \\ &= \frac{N_3 l}{EF \cdot \cos\gamma} = \frac{0,167 Pl}{EF \cdot \cos 45^\circ}, \\ \text{то } A &= \frac{1}{2}P \cdot \frac{0,167 Pl}{EF \cdot \cos 45^\circ} = 0,118 \frac{P^2 l}{EF}. \end{aligned}$$

Потенциальная энергия деформации

$$\begin{aligned} U &= 2 \sum_{i=1}^3 \frac{N_i^2 l_i}{2E F_i} = 2 \left(\frac{N_1^2 l_1}{2E \cdot 3F} + \frac{N_2^2 l_2}{2E \cdot 2F} + \frac{N_3^2 l_3}{2E \cdot F} \right) = \\ &= 2 \left[\frac{(0,806P)^2 l_1}{2E \cdot 3F} + \frac{(0,235P)^2 l_2}{2E \cdot 2F} + \frac{(0,167P)^2 l_3}{2E \cdot F} \right] = 0,118 \frac{P^2 l}{EF}. \end{aligned}$$

Сопадение значений A и U подтверждает достоверность

найденных величин N_1 , N_2 и N_3 .

Напряжения в поперечных сечениях стержней:

$$\sigma_1 = \frac{N_1}{3F} = \frac{45,9 \cdot 10^3}{3 \cdot 100} = 158 \text{ МПа, /растяжение/}$$

$$\sigma_2 = \frac{N_2}{2F} = \frac{35,3 \cdot 10^3}{2 \cdot 100} = 177 \text{ МПа, /растяжение/}$$

$$\sigma_3 = \frac{N_3}{F} = \frac{25,1 \cdot 10^3}{100} = 251 \text{ МПа, /сжатие/}$$

Коэффициент запаса по пределу текучести..

$$\pi_T = \frac{\sigma_T}{\sigma_{max}} = \frac{\sigma_T c}{\sigma_3} = \frac{400}{251} = 1,6.$$

ЛИТЕРАТУРА

1. Феодосьев В.И. Сопротивление материалов. - М.: Наука, 1979, с. 29-76.
2. Гаварин А.С., Киселев Г.П., Сухова Н.А. Расчетно-графические работы по сопротивлению материалов. Упражнение - сжатие. М.: МГТУ, 1980. - 42 с.

Хордиктор Н.Н.Филимонова

Заказ 353 Объем 2л.л.(2уч.-изд.л.) Тираж 700 экз.
Бесплатно Подписано к печати 26.12.84 г. План I-84 г., № 72

Типография МВТУ. 107005. Москва, Б-5. 2-я Бауманская, 5.